

05;11;12

## Усиление комбинационного рассеяния локализованными плазмонами в наночастицах серебра на поверхности наностержней оксида цинка

© В.Е. Кайдашев,<sup>1</sup> Н.В. Лянгузов,<sup>1,2</sup> Ю.И. Юзюк,<sup>2</sup> Е.М. Кайдашев<sup>1,2</sup>

<sup>1</sup> Южный федеральный университет, НИИМиПМ,  
344090 Ростов-на-Дону, Россия

<sup>2</sup> Южный федеральный университет, физический факультет,  
344090 Ростов-на-Дону, Россия  
e-mail: kaidashev\_mst@mail.ru

(Поступило в Редакцию 18 февраля 2011 г. В окончательной редакции 12 июля 2011 г.)

Исследованы особенности процесса магнетронного напыления наночастиц Ag на массивы наностержней ZnO. Боковые грани наностержней покрываются наночастицами с гораздо меньшей плотностью, нежели плоские поверхности при аналогичных временах напыления. Повышенная плотность частиц Ag наблюдается на ребрах боковых граней наностержней. Максимум плазмонного поглощения в синтезированных массивах наностержней, покрытых изолированными наночастицами Ag, лежит в диапазоне 450–500 nm. Возникновение локальных плазмонных возбуждений приводит к усилению интенсивности многофононных процессов с участием полярных мод ZnO в спектрах комбинационного рассеяния. С увеличением эквивалентной толщины пленок Ag возрастает сечение резонансного комбинационного рассеяния для обертонов фонона  $A_1(LO)$ .

### Введение

Исследование усиления комбинационного рассеяния (КР) вблизи несплошных металлических (Ag, Au) пленок и наночастиц на диэлектрических подложках приобрело повышенный интерес из-за возможности использования таких структур для регистрации сверхмалых концентраций химических [1] и биологических [2] веществ, изучения особенностей протекания сложных каталитических реакций [3], анализа свойств отдельных квантовых точек [4]. Из теоретических исследований [5] следует, что усиленное КР пропорционально четвертой степени усредненного локального электрического поля, а вблизи перколяционного порога (перехода от островковой морфологии пленки к сплошной) среднее усиление происходит более чем на 6 порядков. Большинство исследований проводилось для гладких диэлектрических поверхностей, покрытых частицами [6,7] и несплошными пленками [8] благородных металлов. Напыление же наночастиц и несплошных пленок на развитую поверхность, такую как наностержни ZnO с гексагональной огранкой, имеет существенные отличия. Поскольку плазмонные свойства наночастиц зависят от их размера, формы и расстояния между ними [9,11], оптические свойства таких структур также отличаются. Кроме того, наностержни с нанесенными наночастицами количественно увеличивают эффект усиления из-за увеличения эффективной площади поверхности. Нанесение наночастиц на развитую поверхность наностержней Si продемонстрировано в работе [11] для анализа пестицидов, однако использованные в работе стержни имели очень высокую плотность и, по-видимому, осуществлялось покрытие только их вершин. В работе [12] исследовано химическое осаждение наночастиц Ag на наностержни ZnO из раствора. Стоит заметить, что при химическом

осаждении часто наблюдается подтравливание поверхности стержней в процессе синтеза наночастиц Ag, а также вносят дополнительные неконтролируемые загрязнения в образец продуктами реакций. Методы физического напыления, такие как магнетронное и импульсное лазерное напыление в вакууме и газах, исключают указанные недостатки химических методов и в достаточной степени позволяют управлять плотностью распределения и размерами наночастиц [6] и параметрами несплошных пленок. Они хорошо совместимы с созданием сложных гибридных структур на основе пленок, наностержней и наночастиц, в том числе в едином технологическом цикле. Массивы редко расположенных наностержней ZnO, обладая большой площадью поверхности, могут быть использованы в качестве универсальных матриц для лабораторного исследования малых концентраций газов, твердотельных, а также растворенных в жидкости нанообъектов с помощью усиления КР локализованными плазмонами. Плотностью массивов наностержней можно управлять, изменяя толщину пленочного буферного слоя, а также количество металлического катализатора [13].

В настоящей работе исследованы особенности процесса усиления КР локализованными плазмонами в наночастицах серебра на поверхности массивов наностержней ZnO. В качестве объекта исследования усиления мод КР выбран сам ZnO. С помощью плазмонного усиления света вблизи наночастиц наблюдались слабые полярные моды ZnO, ненаблюдаемые в таких структурах без напыления металла.

### Экспериментальная часть

Наночастицы серебра напылялись на поверхность наностержней ZnO, выращенных методом карботермиче-

Условия получения наночастиц Ag на поверхности наноструктур ZnO магнетронным напылением. Скорость роста составляет  $1 \text{ \AA/s}$

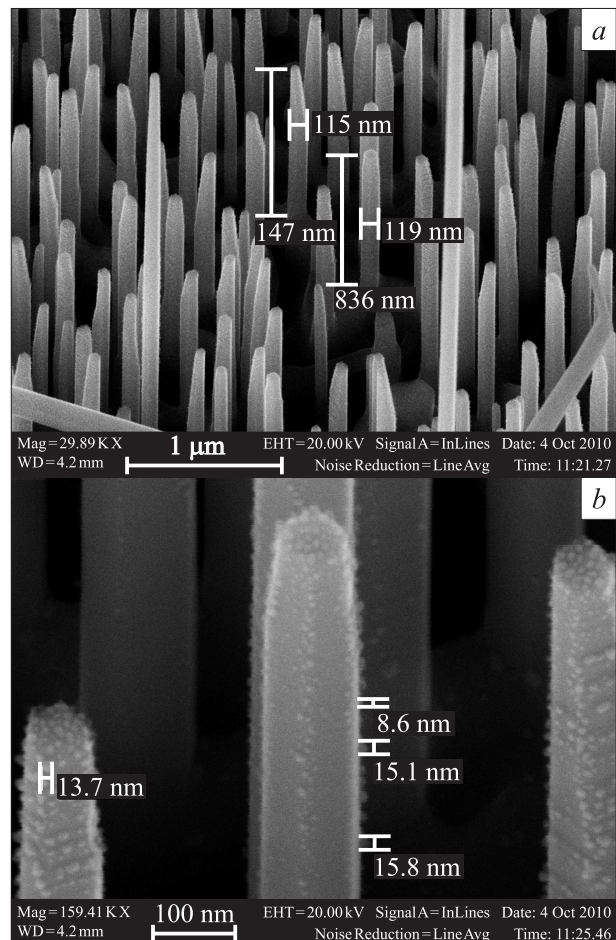
№	$P_{\text{Ar}}$ , Torr	$U$ , V	$I$ , mA	$L$ , mm	$\tau$ , s	$h_{\text{equi}}$ , nm
1	$2.5 \cdot 10^{-2}$	100	35	80	10	1
2					20	2
3					30	3

ского синтеза на подложках  $\alpha\text{-Al}_2\text{O}_3$ . Напыление наночастиц серебра проводилось методом магнетронного напыления на постоянном токе при комнатной температуре. Подложки с предварительно синтезированными наностержнями ZnO располагались параллельно поверхности мишени на вращаемом держателе. Скорость напыления серебра при фиксированных условиях, давлении аргона ( $P_{\text{Ar}}$ ), напряжении ( $U$ ) и токе ( $I$ ) разряда, а также расстояния мишень-подложка ( $L$ ) определялась по времени синтеза и толщине сплошных пленок Ag, измеренной на сколе подложки с помощью растрового электронного микроскопа FE-SEM Zeiss SUPRA 25. Для обозначения количества металла, напыленного на подложку в виде отдельных наночастиц, далее будем пользоваться термином „эквивалентная толщина“ ( $h_{\text{equi}}$ ), т. е. толщина пленки эквивалентного количества металла в предположении того, что она является сплошной. Эта величина определяется как произведение времени ( $\tau$ ) напыления на скорость роста. Условия напыления серебра приведены в таблице. Влияние различных режимов напыления наночастиц Ag методом магнетронного напыления на постоянном токе и методом импульсного лазерного напыления на морфологию формируемых наночастиц и несплошных пленок исследованы в работе [14]. Карботермический синтез наностержней с использованием сверхтонкой пленки меди ( $h_{\text{equi}} = 1 \text{ nm}$ ) в качестве катализатора роста производился по методике, описанной ранее [13]. Напыление катализатора осуществлялось методом магнетронного напыления при следующих условиях:  $P_{\text{Ar}} = 9 \cdot 10^{-3} \text{ Torr}$ ,  $U = 150 \text{ V}$ ,  $I = 35 \text{ mA}$ ,  $L = 80 \text{ mm}$ . Более детальное описание процесса синтеза наностержней приведено в работе [13]. Ранее установлено, что путем изменения толщины катализатора и предварительным напылением буферного пленочного подслоя ZnO различных толщин перед синтезом наностержней можно управлять плотностью распределения и размером синтезируемых наностержней [13]. Оптическая плотность образцов исследовалась с помощью спектрофотометра Beckman DU 800 УФ-видимого диапазона со спектральным разрешением не хуже  $1 \text{ nm}$ . Спектры измерялись в режиме вычитания оптической плотности подложки, поэтому характеризуют поглощающие и рассеивающие свойства только массивов наностержней, покрытых наночастицами Ag. Спектры КР при возбуждении излучением  $\text{Ar}^+$  ( $514.5 \text{ nm}$ )- и  $\text{HeCd}$  ( $325 \text{ nm}$ )-лазера регистрировались с помощью рамановского спектрометра Renishaw inVia Reflex со спектральным разрешением

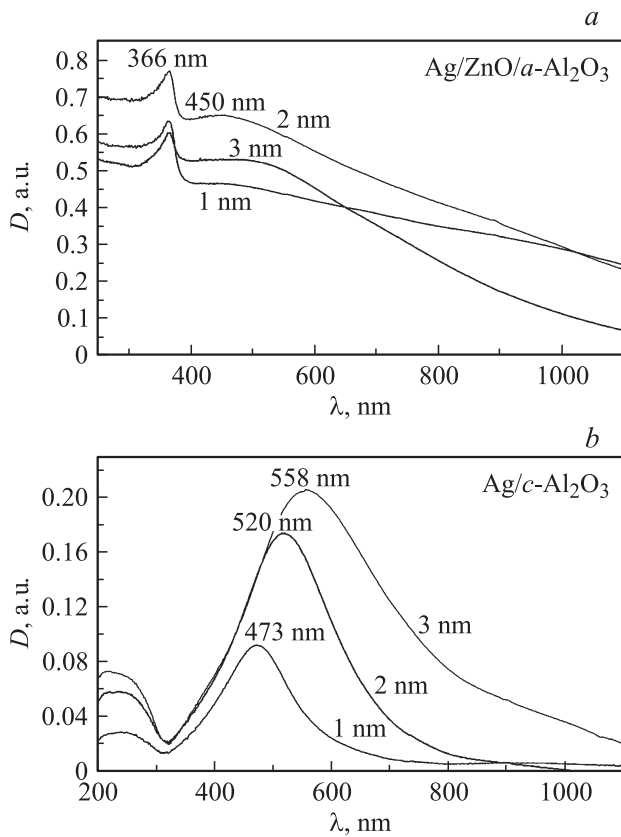
не хуже  $1 \text{ cm}^{-1}$ . Образцы облучались в направлении, перпендикулярном к подложке, и спектры комбинационного рассеяния регистрировались в обратном направлении без анализатора, что соответствует геометриям рассеяния  $z(x,x)z'$  и  $z(xy)z'$ .

## Результаты и их обсуждение

Изображения сканирующей электронной микроскопии (СЭМ) полученных структур приведены на рис. 1. Средний размер наночастиц, напыленных на наностержни в данном режиме, составил  $8\text{--}15 \text{ nm}$  для  $h_{\text{equi}} = 2 \text{ nm}$ . В работе [14] нами проведен анализ морфологии наночастиц и несплошных пленок Ag и Au, полученных в различных режимах импульсного лазерного и магнетронного напыления. Размеры наночастиц Ag на поверхности боковых граней наностержней ZnO имеют сходные размеры с наночастицами на поверхности подложек Si и пленках ZnO. Однако боковые грани наностержней покрываются наночастицами с гораздо меньшей плотностью, нежели плоские при аналогичных временах напыления. Особенно плотно серебро осаждается на



**Рис. 1.** СЭМ-изображение наностержней ZnO/Al<sub>2</sub>O<sub>3</sub> (11–20), покрытых наночастицами Ag (эквивалентная толщина покрытия  $2 \text{ nm}$ ).

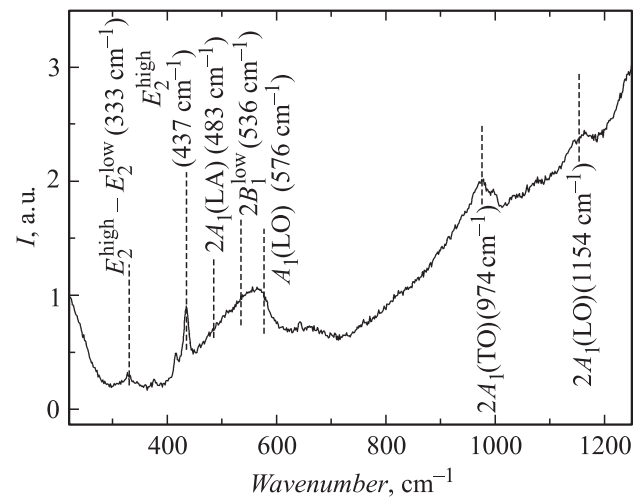


**Рис. 2.** Спектры оптической плотности массивов наностержней ZnO, покрытых наночастицами Ag (эквивалентная толщина покрытия 1, 2 и 3 нм) (а), и аналогичных наночастиц Ag на сапфире (b).

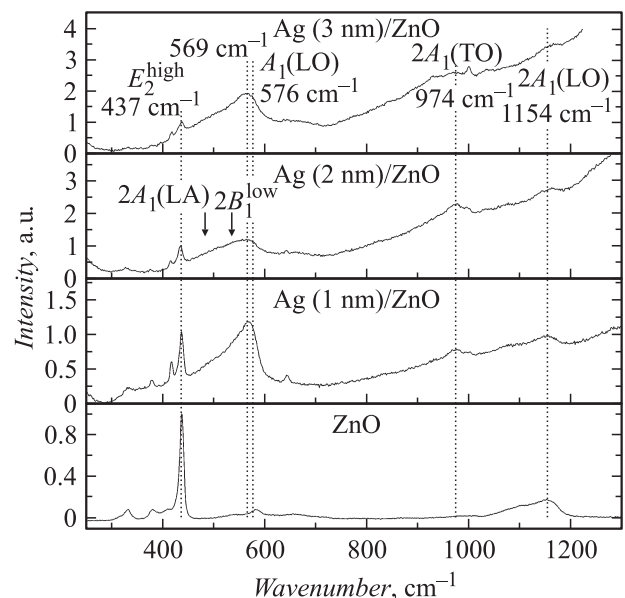
ребрах боковых граней наностержней. На верхушках наностержней наночастицы имеют приблизительно такую же, высокую плотность распределения, как и на плоских поверхностях.

Максимум плазмонного поглощения в образцах с напылением наночастиц Ag ( $h_{\text{equi}} = 1, 2$  и  $3$  нм) на массивы наностержней ZnO лежит вблизи  $450\text{--}500$  нм (рис. 2, а), что немного больше края оптического поглощения ZnO ( $366$  нм). Для соответствующих эквивалентных толщин Ag на  $\text{Al}_2\text{O}_3$  максимумы оптической плотности наблюдались в диапазоне  $470\text{--}560$  нм (рис. 2, б). Показатель преломления эпитаксиальной пленки ZnO на сапфире изменяется от  $\sim 2.4$  до  $2$  в диапазоне  $400\text{--}600$  нм [15], что выше соответствующего значения для  $\text{Al}_2\text{O}_3$  (1.75). Проводя рассуждения, аналогичные представленным в работе [16], максимум плазмонного поглощения при соответствующей эквивалентной толщине Ag на ZnO следует ожидать в более длинноволновой области, нежели в случае  $\text{Al}_2\text{O}_3$ . Однако такого смещения не наблюдалось (рис. 2, а, б), что подчеркивает факт, что сами физико-химические свойства подложки определяют механизмы роста наночастиц металла, а показатель преломления подложки влияет на положения резонанса уже сформированных частиц.

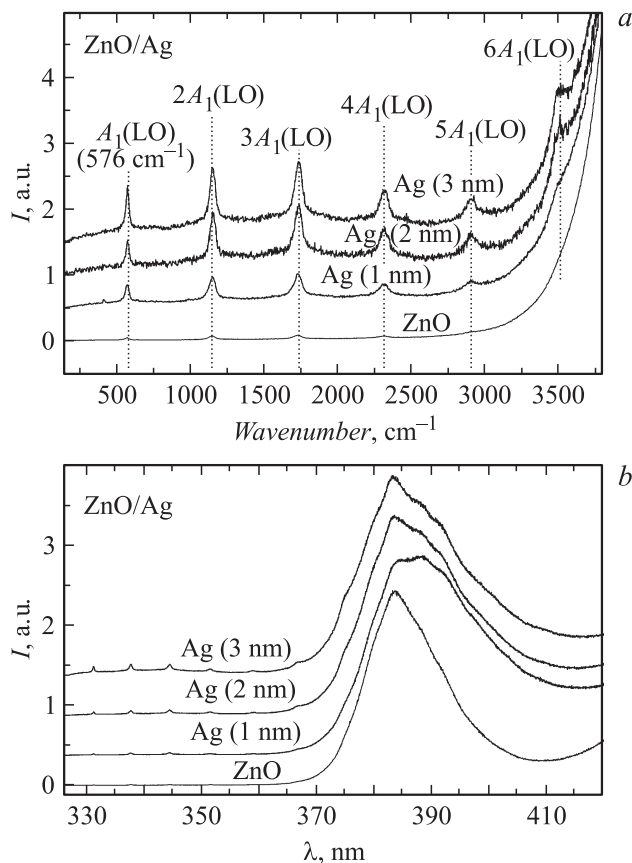
В спектрах КР образцов наностержней ZnO при возбуждении излучением  $\text{Ar}^+$ -лазера ( $514$  нм) наблюдалось возрастание относительной интенсивности области полярных фононов по отношению к интенсивности неполярной моды  $E_2^{\text{high}}$  ( $437\text{ cm}^{-1}$ ) (рис. 3, 4). Для удобства рассмотрения интенсивность моды  $E_2^{\text{high}}$  во всех спектрах принята за единицу (рис. 4, б). Наибольшее усиление КР наблюдается в окрестности сильной полярной моды  $A_1(\text{LO})$  ( $576\text{ cm}^{-1}$ ). Усиление моды  $A_1(\text{LO})$  регистрировалось ранее авторами работ [12,17].



**Рис. 3.** Спектр КР стержней ZnO, покрытых наночастицами Ag, при возбуждении излучением  $\text{Ar}^+$ -лазера (длина волны  $514$  нм). Эквивалентная толщина слоя серебра  $2$  нм.



**Рис. 4.** Сравнительная диаграмма спектров КР стержней ZnO, покрытых наночастицами Ag. Эквивалентная толщина слоя серебра в образцах составляет  $1, 2, 3$  нм. Внизу приведен спектр КР стержней ZnO, свободных от наночастиц Ag. Возбуждение спектров производилось излучением  $\text{Ar}^+$ -лазера (длина волны  $514$  нм).



**Рис. 5.** Сравнительная диаграмма спектров КР наностержней ZnO, покрытых наночастицами Ag, при возбуждении излучением HeCd лазера (325 nm) (a) и обертоны  $A_1(\text{LO})$  на фоне экситонной люминесценции ZnO (b). Эквивалентная толщина слоя серебра в образцах составляет 1, 2 и 3 nm. Внизу приведен спектр КР стержней ZnO, свободных от наночастиц.

Кроме того, значительно усиливаются многофононные процессы, предположительно  $2A_1(\text{LA})$  ( $483 \text{ cm}^{-1}$ ),  $2B_1^{\text{low}}$  ( $536 \text{ cm}^{-1}$ ) [18], а также  $2A_1(\text{TO})$  ( $974 \text{ cm}^{-1}$ ). В результате моды многофононных процессов  $2A_1(\text{LA})$ ,  $2B_1^{\text{low}}$ , а также усиленная мода  $A_1(\text{LO})$  образуют несимметричный контур с максимумом вблизи  $569 \text{ cm}^{-1}$ . Интенсивности линий, соответствующих полярным фононам, превосходят интенсивность линии  $E_2^{\text{high}}$ , в то время как для наностержней ZnO, свободных от наночастиц Ag, их интенсивности в десятки раз меньше (рис. 4). Данный эффект обусловлен поверхностным усилением КР на наночастицах серебра. По мере увеличения эквивалентной толщины слоя металла относительная интенсивность полосы с максимумом вблизи  $569 \text{ cm}^{-1}$ , включающим полярную моду  $A_1(\text{LO})$ , возрастает (рис. 4).

При резонансном возбуждении на длине волны 325 nm в спектрах КР стержней ZnO с наночастицами серебра хорошо различимы до 6 обертонов продольного фонона  $A_1(\text{LO})$  (рис. 5, a). Без покрытия серебром в спектрах КР ZnO обычно наблюдается не более 3 обертонов. Эффект возрастания количества обертонов в ZnO ранее наблюдался при возрастании количества дефектов при

увеличении температуры синтеза [19], а также при деформации решетки при встраивании атомов переходных металлов [20–22] за счет релаксации правил отбора. Однако в данном случае встраивание атомов Ag в решетку ZnO исключается из-за того, что напыление частиц происходило при комнатной температуре. Таким образом, данный эффект связан с увеличением сечения КР вблизи локализованных плазмонов на границе наночастица–диэлектрик и усилением слабых гармоник фонона  $A_1(\text{LO})$  ненапряженного ZnO. Аналогично возрастанию относительной интенсивности полярных мод при возбуждении на длине волны 514 nm при резонансном возбуждении с увеличением количества серебра при покрытии наночастицами возрастают относительные интенсивности обертонов фонона  $A_1(\text{LO})$  (рис. 5, a). Увеличение интенсивности обертонов фонона  $A_1(\text{LO})$  при резонансном возбуждении ZnO хорошо заметно при рассмотрении интенсивностей обертонов относительно интенсивности люминесцентного экситонного пика ZnO (рис. 5, b). Для всех трех образцов стержней, покрытых наночастицами серебра, а также для образца без покрытия, максимум люминесценции наблюдался при значении 383 nm. Для одновременного наблюдения мод КР и экситонного пика ZnO энергия возбуждения (HeCd лазера) ослаблялась в 10 раз. При таких плотностях мощности нельзя ожидать увеличения интенсивности фотолюминесценции за счет плазмонных эффектов в наночастицах, наблюдавшегося ранее [23], и интенсивность экситонного пика можно считать неизменной для различного количества серебра покрывающего наностержни.

## Заключение

Исследованы особенности процесса магнетронного напыления наночастиц Ag на массивы наностержней ZnO. Обнаружено, что боковые грани наностержней покрываются наночастицами с гораздо меньшей плотностью, нежели плоские при аналогичных временах напыления. Особенно плотно серебро осаждается на ребрах боковых граней наностержней. Максимум плазмонного поглощения в синтезированных массивах наностержней, покрытых изолированными наночастицами Ag, лежит в диапазоне 450–500 nm. Возникновение локальных плазмонных возбуждений приводит к усилению интенсивности многофононных процессов с участием полярных мод ZnO в спектрах КР. С увеличением эквивалентной толщины пленок серебра возрастает сечение резонансного КР для обертонов фонона  $A_1(\text{LO})$ .

Работа выполнена при поддержке РФФИ, проект № 09-02-13530 „Исследование возможности применения массивов углеродных нанотрубок и полупроводниковых наностержней с высокой проводимостью в качестве антенн СВЧ- и миллиметрового диапазона“ и проекта № 2.1.1.6758 „Исследование процессов роста и свойств наноструктур на основе оксида цинка“ аналитической ведомственной целевой программы „Развитие научного потенциала высшей школы (2009–2010 гг.)“.

## Список литературы

- [1] *Kneipp K., Wang Y., Kneipp H., Perelman L.T., Itzkan I.* // *Phys. Rev. Lett.* 1997. Vol. 78. N 9. P. 1667.
- [2] *David C., Guillot N., Shen H., Toury T., Lamy de la Chapelle M.* // *Nanotechnology.* 2010. Vol. 21. P. 475 501.
- [3] *Larsson E.M., Langhammer C., Zoric I., Kasemo B.* // *Science.* 2009. Vol. 326. P. 1091.
- [4] *Hugall J.T., Baumberg J.J., Mahajan S.* // *Appl. Phys. Lett.* 2009. Vol. 95. P. 141 111.
- [5] *Brouers F., Blacher S., Lagarkov A.N., Sarychev A.K., Gadenne P., Shalaev V.M.* // *Phys. Rev. B.* 1997. Vol. 55. N 19. P. 13 234.
- [6] *D'Andrea C., Neri F., Ossi P.M., Santo N., Trusso S.* // *Nanotechnology.* 2009. Vol. 20. P. 245 606.
- [7] *Gupta R., Dyer M.J., Weimer W.A.* // *J. Appl. Phys.* 2002. Vol. 92. P. 5264.
- [8] *Seal K., Nelson M.A., Ying Z.C., Genov D.A., Sarychev A.K., Shalaev V.M.* // *Phys. Rev. B.* 2003. Vol. 67. P. 035 318.
- [9] *Akimov Yu.A., Ostrikov K., Li E.P.* // *Plasmonics.* 2009. Vol. 4. P. 107.
- [10] *Schaadt D.M., Feng B., Yu E.T.* // *Appl. Phys. Lett.* 2005. Vol. 86. P. 063 106.
- [11] *Wang X.T., Shi W.S., She G.W., Mu L.X., Lee S.T.* // *Appl. Phys. Lett.* 2010. Vol. 95. P. 053 104.
- [12] *Qi H., Alexon D., Glembocki O., Prokes S.M.* // *Nanotechnology.* 2010. Vol. 21. P. 085 705.
- [13] *Лянгузов Н.В., Кайдашев В.Е., Кайдашев Е.М., Абдулвахидов К.Г.* // *Письма в ЖТФ.* 2011. Т. 37. Вып. 5. С. 1–8.
- [14] *Лянгузов Н.В., Кайдашев В.Е., Широков В.Б., Кайдашев Е.М.* // *ЖТФ.* 2012. Т. 82. Вып. 10. С. 90–95.
- [15] *Sun X.W., Kwok H.S.* // *J. Appl. Phys.* 1999. Vol. 86. N 1. P. 408.
- [16] *Xu G., Tazawa M., Jin P., Nakao S.* // *Appl. Phys. A.* 2005. Vol. 80. P. 1535.
- [17] *Liu C.Y., Dvoynenko M.M., Lai M.Y., Chan T.H., Lee Y.R., Wang J.-K., Wang Y.L.* // *Appl. Phys. Lett.* 2010. Vol. 96. P. 033 109.
- [18] *Cusco R., Alarcon-Llado E., Ibanez J., Artus L.* // *Phys. Rev. B.* 2007. Vol. 75. P. 165 202.
- [19] *Лянгузов Н.В., Кайдашев В.Е., Захарченко И.Н., Юзюк Ю.И., Киселев А.П., Кайдашев Е.М.* // *ЖТФ.* 2012. Т. 82. Вып. 4. С. 108–116.
- [20] *Kaidashev V.E., Kaidashev E.M., Peres M., Monteiro T., Correia M.R., Sobolev N.A., Alves L.C., Franco N., Alves E.* // *J. Appl. Phys.* 2009. Vol. 106. P. 093 501.
- [21] *Kaidashev V.E., Misochko O.V., Correia M.R., Peres M., Monteiro T., Sobolev N.A., Kaidashev E.M.* // *Tech. Phys. Lett.* 2009. Vol. 35. N 12. P. 1086.
- [22] *Phan T.L., Vincent R., Cherns D., Nghia N.X., Ursaki V.V.* // *Nanotechnology.* 2008. Vol. 19. P. 475 702.
- [23] *Lu H., Xu X., Lu L., Gong M., Lin Y.* // *J. Phys. Cond. Mat.* 2008. Vol. 20. P. 472 202.